

电路原理

第1章 电路基本元件和电路基本定律

- 1.1 电路和电路模型
- 1.2 电路变量
- 1.3 电路元件
 - 1.3.1 电阻
 - 1.3.2 电容
 - 1.3.3 电感
 - 1.3.4 电压源
 - 1.3.5 电流源
 - 1.3.6 受控电源
- 1.4 基尔霍夫定律
 - 1.4.1 基尔霍夫电流定律 (KCL)
 - 1.4.2 基尔霍夫电压定律 (KVL)

第2章 直流电路分析方法

- 2.1 电阻的连接及其等效变换
 - 2.1.1 电阻的串并联及其等效变换
 - 1 串联电路的等效电路
 - 2 并联电路的等效电路
 - 2.1.2 星形连接和三角联结
 - 1 角星变换
 - 2 星角变换
 - 3 含有受控源的二端网络
- 2.2 电源的连接及其等效变换
 - 2.2.1 电压源与电流源的串并联
 - 2.2.2 电压源与电流源的等效变换
 - 1 实际电源
 - 2 等效变换
- 2.3 支路电流法
 - 1 无源电路
 - 2 有恒流源
 - 3 含受控源
- 2.4 回路电流法
 - 1 无源电路
 - 2 有恒流源
 - 3 含受控源
- 2.5 节点电压法
 - 1 无源电路
 - 2 有源电路

第3章 电路定理

- 替代定理
- 齐性定理
- 叠加定理
- 戴维南定理
- 诺顿定理
- 最大功率
- 特勒根定理
- 互易定理

4 线性动态电路暂态过程的时域分析

- 4.1 暂态过程与初始条件
- 4.2 一阶电路的零输入响应
- 4.3 一阶电路的零状态响应
- 4.4 全响应和三要素方法
- 4.5 一阶电路的阶跃响应
- 4.6 一阶电路的冲激响应
 - 4.6.1 冲激响应
 - 4.6.2 电容电压和电感电压的跃变
- 4.7 线性动态网络对任意激励的响应
- 第 5 章 正弦稳态电路的分析**
 - 5.1 正弦稳态响应
 - 5.2 正弦的相量表示
 - 5.3 电阻、电感、电容元件的伏安关系的相量形式
 - 5.4 基尔霍夫定律的相量形式及电路的相量模型
 - 5.5 复阻抗与复导纳及其等效变化
 - 5.6 正弦交流电路的功率
 - 无源二端网络的功率
 - 功率因数的提高
 - 最大传输功率
 - 5.7 正弦稳态电路的计算
 - 5.8 谐振电路
 - 5.8.1 RLC 串联谐振电路
 - 5.8.2 RLC 并联谐振电路
 - 5.8.3 实际并联谐振电路
- 第 6 章 耦合电感电路**
 - 6.1 互感现象与互感电压
 - 6.2 耦合电感电路的计算
 - 6.3 空心变压器
 - 6.4 理想变压器
- 第 7 章 三相电路**

第 1 章 电路基本元件和电路基本定律

1.1 电路和电路模型

三种理想电路元件: 电阻, 电容, 电感.

集总参数电路模型.

1.2 电路变量

关联参考方向: 电流与电压的参考方向 (极性) 相同. 相应的有非关联参考方向.

相对于某点的 **电位**. A 点到 B 点的电压: $U_{AB} = U_{AO} - U_{BO}$.

关联参考方向: 若 $p = ui > 0$, 则电场力做功, 元件吸收电能.

1.3 电路元件

- 有源元件
- 无源元件: 电阻, 电容, 电感.

1.3.1 电阻

伏安特性.

线性电阻, 非线性电阻, 时不变电阻, 时变电阻.

电导: $G = R^{-1}$, 单位为西门子 (S).

线性电阻: $i = Gu, p = ui = i^2R = Gu^2$. (关联参考方向)

线性电阻是双向性元件.

1.3.2 电容

库伏特性.

线性电容, 非线性电容, 时不变电容, 时变电容.

线性电容: $i = C \frac{du}{dt}$ (关联参考方向), 伏安关系式微分关系, 故电容元件又称为动态元件.

$p = Cu \frac{du}{dt}, W_C(t) = \frac{1}{2}Cu^2(t)$.

1.3.3 电感

韦安特性

线性电感, 非线性电感, 时不变电感, 时变电感.

$L = \frac{\psi_L}{i}$, 其中 ψ_L 为磁链.

磁通和磁链的单位是韦伯 (Wb), 电感的单位是亨利 (H).

线性电感: $u = \frac{\psi_L}{t} = L \frac{di}{dt}$ (关联参考方向).

$p = Li \frac{di}{dt}, W_L(t) = \frac{1}{2}Li^2(t)$.

	电阻 R	电感 L	电容 C

电容 C	电感 L
$q = Cu$	$\psi_L = Li$
$i = C \frac{du}{dt}$	$u = L \frac{di}{dt}$
$p = Cu \frac{di}{dt}$	$p = Li \frac{di}{dt}$

1.3.4 电压源

独立电压源, 独立电流源

独立源符号内同压异源.

1.3.5 电流源

- 电源既能发出功率, 也能吸收功率.

1.3.6 受控电源

受控电源 (非独立电源): 受控电压源, 受控电流源 (如晶体管集电极电流).

- 电压控制的电压源 (VCVS), $u_2 = \mu u_1$.
- 电压控制的电流源 (VCCS), $i_2 = g u_1$.
- 电流控制的电压源 (CCVS), $u_2 = r i_1$.
- 电流控制的电流源 (CCCS), $i_2 = \beta i_1$.

其中 μ, g, r, β 称为控制系数. u_1 称为控制量, u_2 称为控制量.

1.4 基尔霍夫定律

概念

- 支路: 流过相同电流的一段电路.
- 节点: 三条或三条以上支路的连接点乘坐节点.
- 回路: 任一闭路径称为回路.
- 网孔: 内部不含支路的回路称为网孔.

两类约束

- **自身约束**: 元件本身特性对电压与电流形成的约束
- **级联约束** (拓扑约束, 互连约束): 基尔霍夫定律

1.4.1 基尔霍夫电流定律 (KCL)

应用于节点或闭合面.

1. 节点电流代数和为零.
2. 流入等于流出.
3. 广义节点.

1.4.2 基尔霍夫电压定律 (KVL)

回路或某一段电路.

1. 回路电压代数和为零.
2. 两点间电压在不同路径下相同.
3. 无源降 = 有源升.

第 2 章 直流电路分析方法

2.1 电阻的连接及其等效变换

2.1.1 电阻的串并联及其等效变换

1 串联电路的等效电路

2 并联电路的等效电路

惠斯通电桥: $\frac{R_1}{R_2} = \frac{R_3}{R_4}$.

2.1.2 星形连接和三角联结

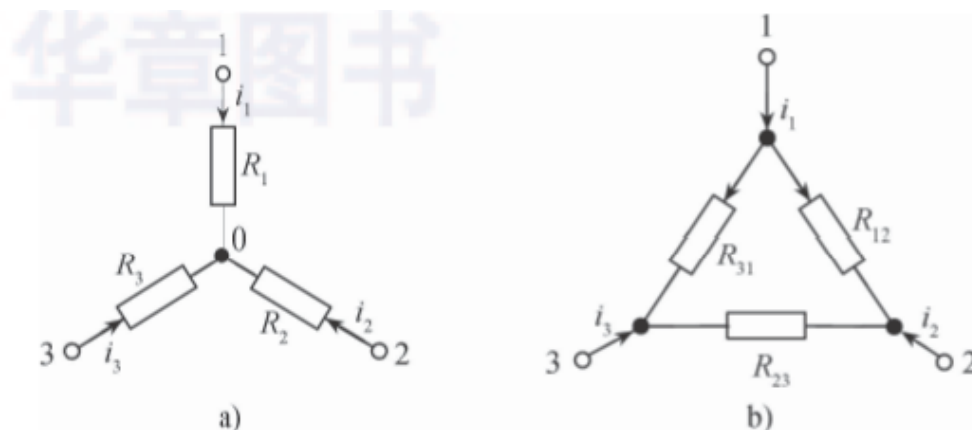


图 2-13 星形和三角形联结

1 角星变换

三角形联结变成星形联结

$$\begin{cases} R_1 = \frac{R_{12}R_{13}}{R_{12} + R_{23} + R_{31}}, & \frac{1}{R_1} = \frac{1}{R_{12}} + \frac{1}{R_{13}} + \frac{R_{23}}{R_{12}R_{13}} \\ R_2 = \frac{R_{21}R_{23}}{R_{12} + R_{23} + R_{31}}, & \frac{1}{R_2} = \frac{1}{R_{21}} + \frac{1}{R_{23}} + \frac{R_{31}}{R_{21}R_{23}} \\ R_3 = \frac{R_{31}R_{32}}{R_{12} + R_{23} + R_{31}}, & \frac{1}{R_3} = \frac{1}{R_{31}} + \frac{1}{R_{32}} + \frac{R_{12}}{R_{31}R_{32}} \end{cases}$$

2 星角变换

星形联结变成三角形联结

$$\begin{cases} R_{23} = \frac{R_1R_2 + R_2R_3 + R_3R_1}{R_1} = R_2 + R_3 + \frac{R_2R_3}{R_1} \\ R_{31} = \frac{R_1R_2 + R_2R_3 + R_3R_1}{R_2} = R_1 + R_3 + \frac{R_1R_3}{R_2} \\ R_{12} = \frac{R_1R_2 + R_2R_3 + R_3R_1}{R_3} = R_1 + R_2 + \frac{R_1R_2}{R_3} \end{cases}$$

3 含有受控源的二端网络

- 外加电压源法.
- 外加电流源法.

2.2 电源的连接及其等效变换

2.2.1 电压源与电流源的串并联

电压源串联, 电流源并联.

- 只有电压相等的电压源才能并联.
- 只有电流相等的电流源才能串联.

2.2.2 电压源与电流源的等效变换

1 实际电源

1. 实际电压源 $U = U_s - R_s I$.
2. 实际电流源 $I = I_s - \frac{U}{R} = I_s - GU$.

2 等效变换

1. 流 \rightarrow 压: $R_s = R, U_s = RI_s$.
2. 压 \rightarrow 流: $R = R_s, I_s = \frac{U_s}{R_s}$.

对外电路无影响的元件

- 与电流源串联的元件
- 与电压源并联的元件

2.3 支路电流法

1 无源电路

设节点数为 n , 支路数为 m , 则对于平面网络 (无交叉支路)

1. 独立节点数 = 节点方程数 = $n - 1$.
2. 网孔是独立回路, 且独立回路数 = 网孔数 = $m - (n - 1)$.

2 有恒流源

- 法一: 选取独立回路时, 不经过恒流源. (减少变量)
- 法二: 设恒流源两端的电压为 U_x .

3 含受控源

- 法一: 把受控源视为独立电源列写方程, 并补写控制量的方程.

2.4 回路电流法

省去 KCL 的 $(n - 1)$ 个方程.

1 无源电路

1. 选定 l 个独立回路, 确定回路电流的方向.
2. 列出回路电流方程 (考虑自电阻与互电阻).
3. 求解回路电流, 从而得出支路电流.

2 有恒流源

- 法一: 选取独立回路时, 令电流源只通过一个回路电流.
- 法二: 随意选取回路, 再列出回路电流与电流源电流的方程.

3 含受控源

- 法一: 受控源视为独立电源列写方程, 最后补写方程.

2.5 节点电压法

省去 KVL 的 $(b - n + 1)$ 个方程.

1 无源电路

列出 KCL, 并将各支路电流用节点电压表示.

节点的自电导总为正, 互电导总为负.

1. 选定参考节点 (电位为零), 其余节点作为独立节点.
2. 对独立节点列节点电压方程, 并求解.
3. 求出其它待求量.

$$\begin{cases} G_{11}u_{n1} + G_{12}u_{n2} + \cdots + G_{1(n-1)}u_{n(n-1)} = i_{Sn1} + G_{Sn1}u_{Sn1} \\ G_{21}u_{n1} + G_{22}u_{n2} + \cdots + G_{2(n-1)}u_{n(n-1)} = i_{Sn2} + G_{Sn2}u_{Sn2} \\ \vdots \\ G_{(n-1)1}u_{n1} + G_{(n-1)2}u_{n2} + \cdots + G_{(n-1)(n-1)}u_{n(n-1)} = i_{Sn(n-1)} + G_{Sn(n-1)}u_{Sn(n-1)} \end{cases}$$

其中 u_{ni} 为节点电压, G_{ii} 为自电导, G_{ij} 为互电阻,

i_{Sni} 为该节点流入的电流源代数和, $G_{Sni}u_{Sni}$ 为与该节点相连的各电压源和电导乘积的代数和.

当只有两个节点时, 为弥尔曼定理.

$$U_{ab} = \frac{\sum \frac{E}{R} + \sum I_S}{\sum \frac{1}{R}}.$$

2 有源电路

- 法一: 取电压源支路的一段作为参考节点.
- 法二: 将电压源支路的电流作为未知量列入节点方程 (流入为正), 再将电压源与节点电压的关系作为补充方程.

对于受控源, 宜采用法二.

注: 与电流源串联的电阻对外不起作用, 不可列入方程中.

若电路中只含有电压源,

数模变换器 (DAC)

【例 2-19】数模变换器 (DAC) 解码网络如图 2-38 所示。输入该电路的二进制数最多可为 4 位数, 开关 2^0 、 2^1 、 2^2 、 2^3 分别与其第一 ~ 四位数字对应。当二进制的某位为“1”时, 对应的开关就接在电源 U_s 上; 当某位为“0”时, 对应的开关就接地。图中开关位置表明输入为“1010”(对应十进制的 10), 试说明其数模变换原理。

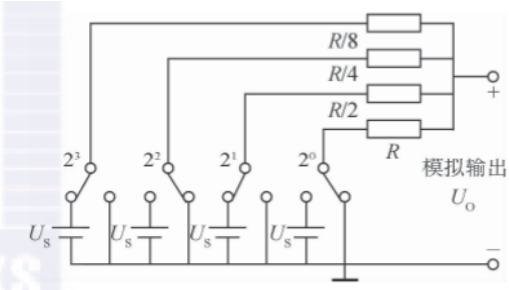


图 2-38 例 2-19 图

解 此电路的工作原理可以用节点电压方程来说明。

输出端的节点电压方程为

$$\left(\frac{8}{R} + \frac{4}{R} + \frac{2}{R} + \frac{1}{R}\right)U_o = \frac{8}{R}U_s + \frac{4}{R}U_s + \frac{2}{R}U_s + \frac{1}{R}U_s$$

$$U_o = \frac{U_s \frac{8}{R} + U_s \frac{4}{R} + U_s \frac{2}{R} + U_s \frac{1}{R}}{\frac{8}{R} + \frac{4}{R} + \frac{2}{R} + \frac{1}{R}} = \frac{U_s \frac{8}{R} + U_s \frac{4}{R} + U_s \frac{2}{R} + U_s \frac{1}{R}}{\frac{15}{R}}$$

设 $U_s = 15\text{V}$, 输入为数字量“1001”(对应模拟量十进制数 9), 此时

$$U_o = \frac{U_s \frac{8}{R} + 0 \frac{4}{R} + 0 \frac{2}{R} + U_s \frac{1}{R}}{\frac{15}{R}} = \frac{\frac{9}{R}U_s}{\frac{15}{R}} = 9\text{V}$$

这表明该电路完成了“数模变换”。

	KCL 方程数	KVL 方程数	总数
支路电流法	n-1	b-n+1	b
回路电流法	0	b-n+1	b-n+1
节点电压法	n-1	0	n-1

第 3 章 电路定理

替代定理

线性, 非线性, 时变, 时不变

齐性定理

叠加定理

线性电路

- 叠加时, 电压源短路, 电流源开路.
- 叠加定理不能计算功率.
- 只有独立源可以单独作用

戴维南定理

- 无源二端网络用 P 表示.
- 有源二端网络用 A 表示.

线性含源二端网络，并等效为电压串联电阻.

求解方法：电压源电压等于开路电压，电阻等于各独立电源置零后得到的等效电阻.

求等效电阻

- 法一：无受控源时电阻等效变换（独立源置零）
- 法二：网络内独立电源置零，端口处施加电压 u （或电流 i ），求出端口的电流 i （或电压 u ），则等效电阻为 $R_i = \frac{u}{i}$.
- 法三：分别求出开路电压 u_k 和短路电流 i_d ，则 $R_i = \frac{u_k}{i_d}$.

使用情况

- 求一条支路的电压或电流.
- 分析变动参数元件（如求最大功率，此时内外电阻相等）.
- 分析含有非线性元件的电路.
- 给出的条件不便于列写方程.

至例 3-8.

诺顿定理

线性含源二端网络，等效为电流源并联电阻.

最大功率

$$P_{L\max} = \frac{u_S^2}{4R_i}.$$

特勒根定理

1. 特勒根第一定理（即功率守恒）： $\sum_{k=1}^b u_k i_k = 0$.
2. 特勒根第二定理（两电路拓扑结构相同时）： $\sum_{k=1}^b u_k \hat{i}_k = \sum_{k=1}^b \hat{u}_k i_k = 0$.

互易定理

4 线性动态电路暂态过程的时域分析

4.1 暂态过程与初始条件

电源、电阻、电感、电容串联：

$$RC \frac{du_c}{dt} + LC \frac{d^2 u_c}{dt^2} + u_c = u_s.$$
$$u_c(t) = u_{Cp}(t) + u_{Ch}(t).$$

其中 $u_{Cp}(t)$ 为稳态解, $u_{Ch}(t)$ 为暂态解.

暂态过程也称为过渡 (动态) 过程, 此时的电路称为动态电路 (网络) .

时域分析法 (经典法), 换路定律:

$$\begin{aligned} q &= Cu, & q(0_+) &= q(0_-) \\ \psi &= Li, & \psi(0_+) &= \psi(0_-) \end{aligned}$$

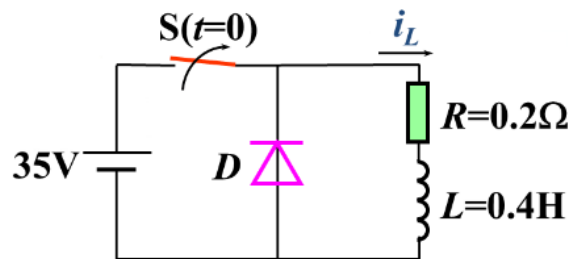
4.2 一阶电路的零输入响应

RC 电路与 LC 电路

$$\begin{aligned} RC \frac{du_C}{dt} + u_C &= 0 \Rightarrow u_C(t) = U_0 e^{-\frac{t}{RC}} \Rightarrow i_C(t) = -C \frac{du_C}{dt} = \frac{U_0}{R} e^{-\frac{t}{RC}} \\ L \frac{di_L}{dt} + Ri_L &= 0 \Rightarrow i_L(t) = I_0 e^{-\frac{Rt}{L}} \Rightarrow u_L(t) = L \frac{di_L}{dt} = -I_0 R e^{-\frac{Rt}{L}} \end{aligned}$$

- 弛豫时间 $\tau = RC = \frac{L}{R}$.
- 电路固有频率 $p = -\frac{1}{\tau}$.
- 动态曲线上任意点切线与横轴的交点与切点的横坐标之差为 τ .
即对于 $y = re^{-\frac{x}{\tau}}$, 切线 $y = -\frac{r}{\tau} e^{-\frac{x}{\tau}} (x - x_0) + re^{-\frac{x}{\tau}}$ 与横轴交点为 $x_t = x_0 + \tau$.
- 3τ 时衰减至系数为 0.049787, 5τ 时衰减至系数为 0.006738, 此时一般认为已经达到稳态.
- 实验时注意操作步骤, 否则小电源小电阻和电感也可能烧坏电表.

可以采用 **预防措施**: 并联二极管或小电阻, 即泄放二极管 (电阻) 或续流二极管 (电阻)



4.3 一阶电路的零状态响应

RC 电路和 RL 电路

$$\begin{aligned} RC \frac{du_C}{dt} + u_C &= RI_s \Rightarrow u_C = RI_s \left(1 - e^{-\frac{t}{RC}} \right) \Rightarrow i_C(t) = -C \frac{du_C}{dt} = I_s e^{-\frac{t}{RC}} \\ L \frac{di_L}{dt} + Ri_L &= U_s \Rightarrow i_L = \frac{U_s}{R} \left(1 - e^{-\frac{Rt}{L}} \right) \Rightarrow u_L = L \frac{di_L}{dt} = U_s e^{-\frac{Rt}{L}} \end{aligned}$$

- 稳态响应仅与外加激励有关, 故又称 **强制响应**.
- 暂态响应还与固有频率有关, 故又称 **固有响应**.

4.4 全响应和三要素方法

对于一般的一阶电路微分方程:

$$\frac{df(t)}{dt} + \frac{1}{\tau} f(t) = v(t).$$

若求出初始值、稳态值和弛豫时间，则可直接得到：

$$\begin{aligned} f(t) &= f(\infty) + [f(0_+) - f(\infty)]e^{-\frac{t}{\tau}} && \text{(一般的激励)} \\ &= \underbrace{f(\infty)}_{\text{稳态响应}} + \underbrace{[f(0_+) - f(\infty)]e^{-\frac{t}{\tau}}}_{\text{暂态响应}} && \text{(直流电源的激励)} \\ &= \underbrace{f(0_+)e^{-\frac{t}{\tau}}}_{\text{零输入响应}} + \underbrace{f(\infty)(1 - e^{-\frac{t}{\tau}})}_{\text{零状态响应}} && \text{(叠加原理的形式)} \end{aligned}$$

4.5 一阶电路的阶跃响应

单位阶跃函数与延迟阶跃函数

$$1(t) = \begin{cases} 0, & t < 0, \\ 1, & t > 0. \end{cases} \quad 1(t - t_0) = \begin{cases} 0, & t < t_0, \\ 1, & t > t_0. \end{cases}$$

4.6 一阶电路的冲激响应

4.6.1 冲激响应

单位脉冲函数

$$f(t) = \frac{1}{a}[1(t) - 1(t - a)] = \begin{cases} 0, & t < 0, \\ \frac{1}{a}, & 0 < t < a \\ 0, & t > a \end{cases}$$

单位冲激函数

$$\delta(t) = \lim_{a \rightarrow 0+} f(t)$$
$$\int_{-\infty}^t \delta(\xi) \, d\xi = 1(t)$$

筛选性 (采样性质)

$$g(t)\delta(t) = g(0)\delta(t)$$
$$\int_{-\infty}^{+\infty} g(t)\delta(t - t_0) \, dt = g(t_0)$$

单位冲激响应

$$h(t) = \lim_{a \rightarrow 0+} \frac{1}{a}[s(t) - s(t - a)] = \frac{ds(t)}{dt}$$
$$\int_0^t h(\xi) \, d\xi = s(t)$$

单位阶跃响应的导数就是单位冲激响应.

函数	符号	函数	符号	函数	符号
单位阶跃函数	$1(t)$	单位脉冲函数	$f(t)$	单位冲激函数	$\delta(t) = \frac{d1(t)}{dt}$
单位阶跃响应	$s(t)$			单位冲激响应	$h(t) = \frac{ds(t)}{dt}$

对于一般的冲激函数 $K\delta(t)$, $h_K(t) = Kh(t)$.

4.6.2 电容电压和电感电压的跃变

若换路时电容和电感均为零状态, 则

电容: $i = CU_S \delta(t)$.

电感: $u_L = LI_S \delta(t)$.

加入并联电容: (电荷守恒)

$$u_{C1}(0_+) = u_{C2}(0_+) = \frac{C_1}{C_1 + C_2} U_S$$
$$i_{C1}(0) = -\frac{C_1 C_2}{C_1 + C_2} U_S \delta(t) = -i_{C2}(0)$$

加入串联电感: (磁链守恒)

$$i_1(0_+) = i_2(0_+) = \frac{L_1 U_S}{(L_1 + L_2) R_1}$$
$$u_{L1}(0) = -\frac{L_1 L_2}{L_1 + L_2} \frac{U_S}{R_1} \delta(t) = -u_{L2}(0)$$

电容串联: $\frac{1}{C_s} = \frac{1}{C_1} + \frac{1}{C_2} + \cdots + \frac{1}{C_n}$.

电容并联: $C_p = C_1 + C_2 + \cdots + C_n$.

电感串联: $L_s = L_1 + L_2 + \cdots + L_n$.

电感并联: $\frac{1}{L_p} = \frac{1}{L_1} + \frac{1}{L_2} + \cdots + \frac{1}{L_n}$.

4.7 线性动态网络对任意激励的响应

卷积分析法

将激励 $e(t)$ 用一系列矩形窄脉冲表示, 则

$$r(t) = \int_0^t e(\lambda) h(t - \lambda) d\lambda = e(t) * h(\lambda)$$
$$= \int_0^t e(t - \lambda) h(\lambda) d\lambda = h(t) * e(\lambda)$$

【例题】

第 5 章 正弦稳态电路的分析

5.1 正弦稳态响应

正弦激励电路的微分方程

$$LC \frac{d^2 u_C}{dt^2} + RC \frac{du_C}{dt} + u_C = U_{Sm} \sin(\omega t + \psi_S)$$

通解为

$$u_c(t) = \underbrace{u_{\text{cm}} \sin(\omega t + \psi)}_{u_{\text{cp}}(t)} + \underbrace{K_1 e^{s_1 t} + K_2 e^{s_2 t}}_{u_{\text{ch}}(t)}.$$

正弦稳态 (交流) 电路, 正弦稳态 (交流) 响应.

5.2 正弦的相量表示

我国电网的正弦交流电流频率为 50 Hz, 称为 **工频**. 西方国家为 60 Hz.

正交, 反相, 超前 (落后). 其中正交不是几何意义上的, 而是积分意义上的.

$$i = I_m \sin(\omega t + \varphi_i) = \sqrt{2} I \sin(\omega t + \varphi_i).$$

旋转因子: $e^{j\theta}$.

用相量表示正弦量

$$\begin{aligned} u &= U_m \sin(\omega t + \varphi_u) = \text{Im}[U_m e^{j(\omega t + \varphi_u)}] \\ &= \text{Im}[\dot{U}_m e^{j\omega t}] = \text{Im}[\sqrt{2} \dot{U} e^{j\omega t}]. \end{aligned}$$

$\dot{U}_m = U_m e^{j\varphi_u} = U_m \angle \varphi_u$ 称为振幅相量,

$\dot{U} = U e^{j\varphi_u} = U \angle \varphi_u$ 称为有效值相量.

并且有 $\dot{U}_m = \sqrt{2} \dot{U}$, $U_m = \sqrt{2} U$.

同频率正弦量相加:

$$\begin{aligned} i &= i_1 + i_2 = \sqrt{2} I_1 \sin(\omega t + \psi_1) + \sqrt{2} I_2 \sin(\omega t + \psi_2) \\ &= \text{Im}[\sqrt{2}(\dot{I}_1 + \dot{I}_2) e^{j\omega t}] = \sqrt{2} I \sin(\omega t + \psi). \end{aligned}$$

其中 $\dot{I} = \dot{I}_1 + \dot{I}_2$, $I = \text{Im}(\dot{I}_1 + \dot{I}_2)$.

5.3 电阻、电感、电容元件的伏安关系的相量形式

参数	电阻	电感	电容
时域	$u = Ri$	$u = L \frac{di}{dt}$	$i = C \frac{du}{dt}$
有效值	$U = RI$	$U = \omega LI$	$I = \omega CU$
相位	$\varphi_u = \varphi_i$	$\varphi_u = \varphi_i + \frac{\pi}{2}$	$\varphi_i = \varphi_u + \frac{\pi}{2}$
频域	$\dot{U} = R\dot{I}$	$\dot{U} = j\omega L\dot{I}$	$\dot{I} = j\omega C\dot{U}$
阻抗	电阻 (抗) R	感抗 $X_L = \omega L$	容抗 $X_C = \frac{1}{\omega C}$
导纳	电导 (纳) $G = \frac{1}{R}$	感纳 $B_L = \frac{1}{\omega L}$	容纳 $B_C = \omega C$
瞬时功率 p	$p = UI(1 - \cos 2\omega t)$	$p = UI \sin 2\omega t$	$p = -UI \sin 2\omega t$

参数	电阻	电感	电容
平均功率 P 或 无功功率 Q	$P = I^2 R$ $= U^2 / R$	$Q_L = I^2 X_L$ $= U^2 / X_L$	$Q_C = -I^2 X_C$ $= -U^2 / X_C$

无功功率: 单位为 Var 乏.

5.4 基尔霍夫定律的相量形式及电路的相量模型

$$\sum i = 0, \quad \sum \dot{I} = 0,$$

$$\sum u = 0, \quad \sum \dot{U} = 0.$$

5.5 复阻抗与复导纳及其等效变化

阻抗串联	导纳并联
$\begin{aligned} \dot{U} &= \dot{U}_R + \dot{U}_L + \dot{U}_C \\ &= \left[R + j \left(\omega L - \frac{1}{\omega C} \right) \right] \dot{I} \\ &= [R + j(X_L - X_C)] \dot{I} \\ &= [R + jX] \dot{I} = Z \dot{I} \\ &= U_R + jU_X \end{aligned}$	$\begin{aligned} \dot{I} &= \dot{I}_R + \dot{I}_L + \dot{I}_C \\ &= \left[G + j \left(\omega C - \frac{1}{\omega L} \right) \right] \dot{U} \\ &= [G + j(B_C - B_L)] \dot{U} \\ &= [G + jB] \dot{U} = Y \dot{U} \\ &= I_R + jI_B \end{aligned}$
$\begin{aligned} Z &= \dot{U} / \dot{I} = z \angle \varphi \\ z &= U / I = \sqrt{R^2 + (X_L - X_C)^2} \\ \varphi &= \varphi_z = \varphi_u - \varphi_i \\ &= \arctan \frac{X_L - X_C}{R} \end{aligned}$	$\begin{aligned} Y &= \dot{I} / \dot{U} = y \angle \theta = -y \angle \varphi \\ y &= I / U = \sqrt{G^2 + (B_C - B_L)^2} \\ \theta &= \varphi_i - \varphi_u = -\varphi \\ &= \arctan \frac{B_C - B_L}{G} \end{aligned}$
$\begin{aligned} U &= zI = \sqrt{R^2 + X^2} I \\ &= \sqrt{U_R^2 + U_X^2} \end{aligned}$	$\begin{aligned} I &= yU = \sqrt{R^2 + B^2} U \\ &= \sqrt{I_R^2 + I_B^2} \end{aligned}$

复阻抗与复导纳的等效变换:

$$\begin{cases} Z = R + jX = \frac{1}{Y} = \frac{G - jB}{G^2 + B^2} \\ Y = G + jB = \frac{1}{Z} = \frac{R - jX}{R^2 + X^2} \end{cases}$$

电抗	阻抗角	电纳	性质
$X = X_L - X_C > 0$	$\varphi = \varphi_u - \varphi_i > 0$	$B = B_C - B_L < 0$	感性
$X = X_L - X_C < 0$	$\varphi = \varphi_u - \varphi_i < 0$	$B = B_L - B_C > 0$	容性
$X = X_L - X_C = 0$	$\varphi = \varphi_i - \varphi_i = 0$	$B = B_L - B_C = 0$	阻性

- 感性、容性和阻性与电容和电感有关，与频率也有关.
- $\cos \varphi$ 称为 **功率因数**.

5.6 正弦交流电路的功率

无源二端网络的功率

对于 $Z = R + jX$,

$$\begin{aligned} p &= ui = U_m I_m \sin(\omega t + \varphi) \sin(\omega t) \\ &= 2UI [\sin^2(\omega t) \cos \varphi + \sin(\omega t) \cos(\omega t) \cos \varphi] \\ &= UI \cos \varphi - UI \cos(2\omega t + \varphi) && \text{(瞬时功率)} \\ &= UI \cos \varphi (1 - \cos 2\omega t) + UI \sin \varphi \sin 2\omega t && \text{(另一形式)} \\ P &= \frac{1}{T} \int_0^T p \, dt = UI \cos \varphi && \text{(平均功率)} \\ &= I^2 R = U^2 \cos^2 \varphi / R && \text{(另一形式)} \\ \begin{cases} S = \sqrt{P^2 + Q^2} \\ \varphi = \arctan \frac{Q}{P} \end{cases} &&& \text{(功率三角形)} \\ \tilde{S} = \dot{U} \dot{I}^* &= UI e^{j(\varphi_u - \varphi_i)} = UI e^{j\varphi} && \text{(复功率)} \\ &= UI \cos \varphi + jUI \sin \varphi = P + jQ \end{aligned}$$

平均功率 $P = UI \cos \varphi = I^2 R$.

功率因数 $\lambda := \cos \varphi$.

视在功率 $S := UI$, 单位为伏安 (VA) 或千伏安 (kVA).

无功功率 $Q := UI \sin \varphi$, 单位为乏 (var) 或千乏 (kvar).

[特殊情况](#)

功率因数的提高

1. 感性负载并联电容.

$$\text{功率因数 } \cos \varphi \rightarrow \cos \varphi' \text{ 需并联电容 } C = \frac{P}{U^2 \omega} (\tan \varphi - \tan \varphi').$$

欠补偿, 全补偿, 过补偿.

2. 容性负载

最大传输功率

$$P = I^2 R = \frac{U_S^2 R}{(R_i + R)^2 + (X_i + X)^2} \leq \frac{U_S^2 R}{(R_i + R)^2} \leq \frac{U_S^2}{4R_i}.$$

当且仅当为共轭复数 $Z = Z_i^*$ 时取等.

5.7 正弦稳态电路的计算

5.8 谐振电路

一般调整电容使电路达到谐振.

5.8.1 RLC 串联谐振电路

LC 串联电路发生 **串联谐振**.

$$\text{阻抗 } Z = R + j \left(\omega L - \frac{1}{\omega C} \right).$$

$$\text{谐振角频率 (固有角频率)} \omega_0 = \frac{1}{\sqrt{LC}}.$$

$$\text{谐振频率 (固有频率)} f_0 = \frac{1}{2\pi\sqrt{LC}}.$$

发生谐振时阻抗 $Z = R$ 最小, 电流 $\dot{I}_0 = \frac{\dot{U}}{R}$ 最大.

串联谐振电路的 **品质因数** 为

$$\begin{aligned} Q &= \frac{\omega_0 L}{R} = \frac{1}{\omega_0 C R} = \frac{1}{R} \sqrt{\frac{L}{C}} \\ &= \frac{I^2 \cdot \omega_0 L}{I^2 \cdot R} = \frac{Q_L}{P} = \frac{U_C}{U} = \frac{U_L}{U} \end{aligned}$$

各元件电压为

$$\begin{aligned} \dot{U}_R &= R\dot{I} = \dot{U} \\ \dot{U}_L &= j\omega_0 L\dot{I} = jQ\dot{U} \\ \dot{U}_C &= \frac{\dot{I}}{j\omega_0 C} = -jQ\dot{U} \end{aligned}$$

电容和电感的**电压抵消**, 故又称 **电压谐振**.

- 电力工程: 避免谐振.
- 电信工程: 利用谐振.

串联谐振对频率具有选择性 (**滤波性质**), 当电源频率偏离电路的谐振频率是, 电容电压和电感电压都会显著下降.

$$I = \frac{U}{\sqrt{R^2 + \left(\omega L - \frac{1}{\omega C} \right)^2}} = \frac{I_0}{\sqrt{1 + Q^2 \left(\eta - \frac{1}{\eta} \right)^2}} > I_0 \quad \left(\eta := \frac{\omega}{\omega_0} \right)$$

$$U_L = \omega L I = \frac{QU}{\sqrt{\frac{1}{\eta^2} + Q^2 \left(1 - \frac{1}{\eta^2} \right)^2}} \leq \frac{QU}{\sqrt{1 - \frac{1}{4Q^2}}} > QU \quad \left(\omega = \omega_0 \sqrt{\frac{2Q^2 - 1}{2Q^2}} < \omega_0 \right)$$

$$U_C = \frac{I}{\omega C} = \frac{QU}{\sqrt{\eta^2 + Q^2 (\eta^2 - 1)^2}} \leq \frac{QU}{\sqrt{1 - \frac{1}{4Q^2}}} > QU \quad \left(\omega = \omega_0 \sqrt{\frac{2Q^2}{2Q^2 - 1}} > \omega_0 \right)$$

串联谐振电路的**通用谐振曲线** (Q 越大, 电路的选择性越好)

点击查看 Geogebra 图像

或直接打开 [网页链接](#)

5.8.2 RLC 并联谐振电路

LC 并联电路发生 **并联谐振**.

$$\text{导纳 } Y = G + j \left(\omega C - \frac{1}{\omega L} \right).$$

谐振 (角) 频率 或 **固有 (角) 频率** 与串联谐振电路相同, 即 $\omega_0 = \frac{1}{\sqrt{LC}}, f_0 = \frac{1}{2\pi\sqrt{LC}}$.

发生谐振时 **导纳** $Y = G$ 最小, **电压** $U_0 = \frac{I_S}{G}$ 最大.

并联谐振电路的 **品质因数** 为串联谐振电路的品质因数的**倒数**, 即为

$$\begin{aligned} Q &= \frac{B_L}{R} = \frac{R}{\omega_0 L} = \omega_0 C R = R \sqrt{\frac{C}{L}} \\ &= \frac{I^2 \cdot R}{I^2 \cdot \omega_0 L} = \frac{P}{Q_L} = \frac{U}{U_C} = \frac{U}{U_L} \end{aligned}$$

各元件电流为

$$\begin{aligned} \dot{I}_R &= G \dot{U} = \dot{I}_S \\ \dot{I}_L &= \frac{\dot{U}_0}{j\omega_0 L} = -jQ \dot{I}_S \\ \dot{I}_C &= j\omega_0 C \dot{U}_0 = jQ \dot{I}_S \end{aligned}$$

电容和电感的**电流代数和为零**, 故并联谐振又称 **电流谐振**.

$$U = \frac{I_S}{\sqrt{G^2 + \left(\omega C - \frac{1}{\omega L} \right)^2}} = \frac{U_0}{\sqrt{1 + Q^2 \left(\eta - \frac{1}{\eta} \right)^2}} \quad \left(\eta := \frac{\omega}{\omega_0} \right)$$

5.8.3 实际并联谐振电路

即 RL 串联后与 C 并联.

$$\text{复导纳 } Y = \frac{R}{R^2 + (\omega L)^2} + j \left[\omega C - \frac{\omega L}{R^2 + (\omega L)^2} \right].$$

并联谐振的**条件**为 $C = \frac{L}{R^2 + (\omega L)^2}$.

$$\text{谐振角频率 } \omega_0 = \sqrt{\frac{1}{LC} - \frac{R^2}{L^2}}.$$

可以等效为 RLC 并联谐振电路, 此时等效参数值为

$$\text{等效电导 } G_e = \frac{R}{R^2 + (\omega L)^2}.$$

$$\text{等效感纳 } B_L = \frac{1}{\omega L_e} = \frac{\omega L}{R^2 + (\omega L)^2}.$$

$$\text{谐振阻抗 } R_0 = \frac{1}{G_e} = \frac{R^2 + (\omega_0 L)^2}{R} = \frac{L}{RC}.$$

$$\text{品质因数 } Q = \frac{B_L}{G_e} = \frac{\omega_0 L}{R} = \omega_0 C R_0.$$

第 6 章 耦合电感电路

6.1 互感现象与互感电压

线圈中变化的电流产生变化的磁通, 并在自身线圈中产生 **自感电压**; 若与其它线圈 **交链**, 则会产生 **互感电压**. 互感又称 **耦合电感**.

自身线圈各匝中 **自感磁通** φ_{11} 之和称为 **自感磁链** ψ_{11} .

互感线圈各匝中 **互感磁通** φ_{21} 之和称为 **互感磁链** ψ_{21} . (2 由 1)

线性媒质 即线圈周围没有铁磁物质, 此时有 **自感系数** $L_1 = \pm \frac{\psi_{11}}{i_1}$ 和 **互感系数**

$$M_{21} = \pm \frac{\psi_{21}}{i_1} = \pm \frac{\psi_{12}}{i_2} = M_{12} = M, \text{ 单位为亨利 (H).}$$

$$\text{互感电压 } u_{M2} = \pm \frac{d\psi_{21}}{dt} = \pm M \frac{di_1}{dt}.$$

6.2 耦合电感电路的计算

同名端标记法

互感消去法

- 耦合线圈**串联**

- 顺接 $u = (R_1 + R_2)i + (L_1 + L_2 + 2M) \frac{di}{dt}$.
- 反接 $u = (R_1 + R_2)i + (L_1 + L_2 - 2M) \frac{di}{dt}$.
- 推论 $W_L = \frac{Li^2}{2} \geq 0 \Rightarrow M \leq \frac{L_1 + L_2}{2}$.
- 相量 $\dot{U} = [(R_1 + R_2) + j\omega(L_1 + L_2 \pm 2M)]\dot{I}$.
- 互感抗 $j\omega M$.

- 耦合线圈**并联**

- 同侧并联 与 异侧并联

$$\begin{aligned}\dot{I} &= \dot{I}_1 + \dot{I}_2 \\ \dot{U} &= (R_1 + j\omega L_1)\dot{I}_1 \pm j\omega M\dot{I}_2 = \left[R_1\dot{I}_1 + j\omega(L_1 \mp M) \right] \dot{I}_1 \pm j\omega M\dot{I} \\ &= (R_2 + j\omega L_2)\dot{I}_2 \pm j\omega M\dot{I}_1 = \left[R_2\dot{I}_2 + j\omega(L_2 \mp M) \right] \dot{I}_2 \pm j\omega M\dot{I}\end{aligned}$$

- 耦合系数 $K = \frac{M}{\sqrt{L_1 L_2}} \in [0, 1]$.

$$\text{注: } M = K\sqrt{L_1 L_2} \leq \sqrt{L_1 L_2} \leq \frac{L_1 + L_2}{2}.$$

- 全耦合: 当 $K = 1$ 时, 即 $M = \sqrt{L_1 L_2}$.

6.3 空心变压器

原线圈 (初级线圈), 副线圈 (次级线圈).

空心变压器: 线圈绕在非铁磁材料上.

设空心变压器原副线圈的电压电流方向为关联方向,

初级回路总阻抗为 Z_{11} , 负载阻抗为 Z , 次级回路总阻抗为 Z_{22} (包括负载).

以同名端为例

$$\begin{cases} \dot{U}_1 = Z_{11}\dot{I}_1 + j\omega M\dot{U}_2 \\ 0 = j\omega M\dot{I}_1 + Z_{22}\dot{U}_2 \end{cases}$$

得到

$$\begin{cases} \dot{U}_1 = \left(Z_{11} + \frac{\omega^2 M^2}{Z_{22}} \right) \dot{I}_1 = (Z_{11} + Z_{1r}) \dot{I}_1 \\ \dot{I}_2 = -\frac{j\omega M \frac{\dot{U}_1}{Z_{11}}}{Z_{22} + \frac{\omega^2 M^2}{Z_{11}}} = -\frac{j\omega M \frac{\dot{U}_1}{Z_{11}}}{Z_{22} + Z_{2r}} \end{cases}$$

其中

$$\begin{cases} Z_{1r} = \frac{\omega^2 M^2}{Z_{22}}, & (\text{次级对初级的反射阻抗}) \\ Z_{2r} = \frac{\omega^2 M^2}{Z_{11}}, & (\text{初级对次级的反射阻抗}) \\ U_e = j\omega M \frac{\dot{U}_1}{Z_{11}}, & (\text{初级对次级的互感电压}) \end{cases}$$

去互感效应法 即设出公共接地端后, 使用耦合线圈并联的互感消去法.

6.4 理想变压器

理想变压器不耗能也不储能, 只变换信号、传输电能.

理想化条件

1. 变压器不消耗能量. (无铜损)
2. 是全耦合变压器. (无磁损)
 1. 即 $K = M / \sqrt{L_1 L_2} = 1$.
 2. 此时 $\varphi_{21} = \varphi_{11}$, $\varphi_{12} = \varphi_{22}$.
3. 两个自感无穷大, 但比值为常数.

理想化措施

1. 用具有高磁导率的铁磁材料做铁心.
2. 增加初级次级线圈的匝数.
3. 使线圈紧密耦合.

$$\frac{L_1}{L_2} = \frac{\frac{N_1 \varphi_{11}}{i_1}}{\frac{N_2 \varphi_{22}}{i_2}} = \frac{\frac{N_1}{N_2} M_{21}}{\frac{N_2}{N_1} M_{12}} = \frac{N_1^2}{N_2^2} = n^2$$

$$\begin{cases} u_1 = L_1 \frac{di_1}{dt} + M \frac{di_2}{dt} \\ u_2 = M \frac{di_1}{dt} + L_2 \frac{di_2}{dt} \\ M = \sqrt{L_1 L_2} \\ L_1, L_2 \rightarrow +\infty \end{cases} \Rightarrow \begin{cases} \frac{\dot{U}_1}{\dot{U}_2} = \frac{u_1}{u_2} = n \\ \frac{\dot{I}_1}{\dot{I}_2} = \frac{i_1}{i_2} = -\frac{1}{n} \\ Z_{in} = \frac{\dot{U}_1}{\dot{I}_1} = n^2 Z_2 \end{cases}$$

第 7 章 三相电路

- 三相发电机: 转子、定子嵌有 3 个绕组 (线圈).
- 绕组电压称为 **相电压**.

$$\begin{cases} u_A = U_m \sin(\omega t) \\ u_B = U_m \sin(\omega t - 120^\circ) \\ u_C = U_m \sin(\omega t + 120^\circ) \end{cases}$$

- 相序
 - 正序 (A-B-C-A).
 - 负序 (A-C-B-A).
- 对称三相电路
 - 三相对称电源.
 - 三相对称负载.
 - 阻抗相同的三条输电线.
- 概念
 - 电源中点 (零点), 负载中点, 中性线.
 - 端线 (火线)
- 变量
 - 相电流 $I_P = I_{AB}$, 相电压 $U_P = U_A = U_{AO}$.
 - 线电流 $I_l = I_A$, 线电压 $U_l = U_{AB}$.
 - 中性线电流 $\dot{I}_N = \dot{I}_{O'O}$.
- 星形联结
 - 线电流等于相电流: $I_l = I_P$.
 - 线电压与相电压: $\dot{U}_l = \sqrt{3}\dot{U}_P \angle 30^\circ$.
 - 中性线上: $\dot{U}_{O'O} = 0, \dot{I}_{O'O} = 0$.
- 角形联结
 - 线电压等于相电压: $U_l = U_P$.
 - 线电流与相电流: $\dot{I}_l = \sqrt{3}\dot{I}_P \angle -30^\circ$.
- 星角变换 ($\Delta \rightarrow Y$)
 - 三角形联结电源: $\dot{U}_P = \frac{\sqrt{3}}{3}\dot{U}_l \angle -30^\circ$.
 - 三角形联结负载: $Z'_L = \frac{1}{3}Z_L$.

对称三相电路的功率

- 平均功率

- 当负载为星形联结时, $U_l = \sqrt{3}U_P$, $I_l = I_P$.
- 当负载为角形联结时, $U_l = U_P$, $I_l = \sqrt{3}I_P$.

$$\begin{aligned} P &= U_{PA}I_{PA} \cos \varphi_A + U_{PB}I_{PB} \cos \varphi_B + U_{PC}I_{PC} \cos \varphi_C \\ &= 3U_P I_P \cos \varphi = \sqrt{3}U_l I_l \cos \varphi \quad (\text{星形联结或三角联结}) \end{aligned}$$

其中 φ 为相电压与相电流的相位差, 即负载的阻抗角.

- 无功功率 $Q = 3U_P I_P \sin \varphi = \sqrt{3}U_l I_l \sin \varphi$.
- 视在功率 $S = \sqrt{P^2 + Q^2} = 3U_P I_P = \sqrt{3}U_l I_l$.
- 功率因数 $\lambda = \frac{P}{S} = \cos \varphi = \frac{P}{\sqrt{3}U_l I_l}$.
- 瞬时功率 $p(t) = 3U_P I_P \cos \varphi = P$.

功率的测量

- 三相四线制 (三只瓦特表)
- 三相三线制 (两只瓦特表)

以 C 为参考位点, A 接表 1, B 接表 2, 则

$$\begin{cases} P_1 = U_{AC} I_A \cos(\varphi - 30^\circ), \\ P_2 = U_{BC} I_B \cos(\varphi + 30^\circ). \end{cases}$$